

УДК 519.16 + 519.85

**ПОЛИНОМИАЛЬНАЯ ПРИБЛИЖЕННАЯ СХЕМА  
ДЛЯ ЗАДАЧИ МАРШРУТИЗАЦИИ ТРАНСПОРТНЫХ СРЕДСТВ  
С ОГРАНИЧЕНИЯМИ НА ГРУЗОПОДЪЕМНОСТЬ  
И ВРЕМЕННЫЕ ПРОМЕЖУТКИ ОБСЛУЖИВАНИЯ<sup>1</sup>**

**М. Ю. Хачай, Ю. Ю. Огородников**

Задача маршрутизации транспорта с ограничениями на грузоподъемность и временные промежутки обслуживания (CVRPTW) является широко известной NP-трудной задачей комбинаторной оптимизации. В настоящей работе представлено дальнейшее развитие подхода, описанного впервые в работе М. Хаймовича и А. Ринной Кана. Предложенный алгоритм для произвольного  $\varepsilon > 0$  за время  $\text{TIME}(\text{TSP}, \rho, n) + O(n^2) + O(e^{O(q(\frac{q}{\varepsilon})^3(p\rho)^2 \log(p\rho))})$  находит  $(1+\varepsilon)$ -приближенное решение задачи CVRPTW на евклидовой плоскости, где  $q$  — верхняя оценка грузоподъемности транспортных средств,  $p$  — число промежутков обслуживания (временных окон) и  $\text{TIME}(\text{TSP}, \rho, n)$  — трудоемкость поиска  $\rho$ -приближенного решения вспомогательной постановки метрической задачи коммивояжера. Тем самым алгоритм является полиномиальной приближенной схемой (PTAS) для постановки задачи CVRPTW, в которой  $p^3q^4 = O(\log n)$ , и эффективной полиномиальной схемой (EPTAS) при произвольных фиксированных значениях  $p$  и  $q$ .

Ключевые слова: задача маршрутизации транспорта с ограничением на грузоподъемность, временные окна, эффективная полиномиально приближенная схема.

**M. Yu. Khachai, Yu. Yu. Ogorodnikov. Polynomial time approximation scheme for the capacitated vehicle routing problem with time windows.**

The capacitated vehicle routing problem with time windows (CVRPTW) is a well-known NP-hard combinatorial optimization problem. We present a further development of the approach first proposed by M. Haimovich and A. H. G. Rinnooy Kan and propose an algorithm that, for an arbitrary  $\varepsilon > 0$ , finds a  $(1 + \varepsilon)$ -approximate solution for the Euclidean CVRPTW in  $\text{TIME}(\text{TSP}, \rho, n) + O(n^2) + O(e^{O(q(\frac{q}{\varepsilon})^3(p\rho)^2 \log(p\rho))})$ , where  $q$  is an upper bound for the capacities of the vehicles,  $p$  is the number of time windows, and  $\text{TIME}(\text{TSP}, \rho, n)$  is the complexity of finding a  $\rho$ -approximation solution of an auxiliary instance of the Euclidean TSP. Thus, the algorithm is a polynomial time approximation scheme for CVRPTW with  $p^3q^4 = O(\log n)$  and an efficient polynomial time approximation scheme (EPTAS) for arbitrary fixed values of  $p$  and  $q$ .

Keywords: capacitated vehicle routing problem, time windows, efficient polynomial time approximation scheme.

**MSC:** 90C27, 90C59, 90B06

**DOI:** 10.21538/0134-4889-2018-24-3-233-246

### Введение

Задача маршрутизации транспорта с ограничением грузоподъемности (Capacitated Vehicle Routing Problem, CVRP) является широко известной задачей комбинаторной оптимизации, впервые сформулированной Г. Данцигом и Дж. Рамсером в работе 1959 г. [5]. Задача CVRP представляет теоретический интерес и обладает широким кругом практических приложений в области исследования операций (см., например, [15]).

Как известно, задача CVRP NP-трудна даже на евклидовой плоскости и слабо аппроксимируема в общем случае. Тем не менее для ряда ее геометрических постановок известны как приближенные алгоритмы с теоретическими оценками точности и полиномиальной трудоемкостью, так и аппроксимационные схемы. Большинство результатов в данном направлении восходят к классическим аппроксимационным схемам М. Хаймовича и А. Ринной Кана [7] и

<sup>1</sup>Работа первого автора выполнена при поддержке РФФ (проект 14-11-00109).

С. Ароры [2]. Среди результатов последних лет отметим квазиполиномиальную приближенную схему (Quasi-Polynomial Time Approximation Scheme, QPTAS) [6] для постановки задачи CVRP на плоскости и эффективную полиномиальную приближенную схему (Euclidean Polynomial Time Approximation Scheme, EPTAS) [9] для случая евклидова пространства произвольной фиксированной размерности  $d > 1$ .

В работе исследуется специальная постановка задачи CVRP, в которой каждый из потребителей может быть обслужен не в произвольный момент, а в течение заданного (для него) промежутка времени. В литературе подобные дополнительные ограничения принято называть *временными окнами*, *time windows*, а саму задачу — CVRP с временными окнами (CVRP with Time Windows, CVRPTW).

В последние десятилетия наблюдается существенный прогресс в поиске решений постановок данной задачи, возникающих в практических приложениях (см. обзор [11; 15]). Однако в большинстве своем известные методы, применяемые для решения CVRPTW, имеют эвристическую природу, в то время как алгоритмы с теоретически обоснованными оценками точности и трудоемкости по-прежнему остаются достаточно редкими. По нашим сведениям, перечень таких алгоритмов исчерпывается двумя аппроксимационными схемами для планарной постановки задачи с конечным числом попарно непересекающихся временных окон: квазиполиномиальной приближенной схемой (QPTAS) [13; 14] и эффективной полиномиальной приближенной схемой (EPTAS) для произвольной фиксированной грузоподъемности [8]. Несмотря на то что предложенный в статье [8] алгоритм фактически является первой полиномиальной приближенной схемой для CVRPTW, его трудоемкость<sup>2</sup>, равная

$$O(n^3 + \exp(\exp(1/\varepsilon))), \quad (1)$$

по-прежнему чрезвычайно быстро возрастает с увеличением точности, что существенно затрудняет использование его на практике.

Развитие подхода [3] позволило нам в этой статье обосновать аппроксимационную схему, опережающую по производительности результат [8] почти на экспоненту.

Статья имеет следующую структуру. Раздел 1 посвящен обсуждению математической постановки задачи CVRPTW, а также необходимым определениям и обозначениям. Раздел 2 содержит общую идею и формальное описание предлагаемой аппроксимационной схемы; строгое обоснование оценок ее точности и трудоемкости приводятся в разд. 3. В заключении резюмируются полученные результаты и обсуждаются пути дальнейших исследований.

## 1. Постановка задачи

Пусть заданы множества потребителей  $X = \{x_1, x_2, \dots, x_n\}$  и последовательных непересекающихся промежутков обслуживания (временных окон)  $T = \{t_1, \dots, t_p\}$ . Множество  $T$  предполагается упорядоченным в соответствии с естественным ограничением предшествования:  $t_{j_1} \preceq t_{j_2}$ , справедливым для произвольных  $1 \leq j_1 \leq j_2 \leq p$ . Каждый потребитель  $x_i$  обладает единичным неделимым спросом, который должен быть удовлетворен в течение заданного временного окна  $t(x_i) \in T$ . Обслуживание потребителей производится парком идентичных транспортных средств, обладающих одинаковой грузоподъемностью  $q$ . Маршрут каждого из задействованных транспортных средств начинается и заканчивается в точке  $x_0$ , именуемой *складом* или *депо*. Задача состоит в построении семейства маршрутов, удовлетворяющих спрос каждого из потребителей в течение соответствующего временного окна при ограничении на грузоподъемность и минимизирующих совокупные транспортные издержки.

<sup>2</sup>При условии, что для решения внутренней задачи коммивояжера применяется алгоритм Кристофидеса — Сердукова [4; 12]. Всюду в дальнейшем будем предполагать это условие выполненным.

Остановимся на математической постановке задачи CVRPTW. Пусть заданы взвешенный полный ориентированный граф  $G = (X \cup \{x_0\}, E, w)$ , разбиение

$$X_1 \cup \dots \cup X_p = X \quad (2)$$

и грузоподъемность  $q \in \mathbb{N}$ . Простой замкнутый маршрут вида  $R = x_0, x_{i_1}, \dots, x_{i_s}, x_0$  в орграфе  $G$  называется *допустимым*, если он удовлетворяет ограничениям на грузоподъемность и заданным значениям временных окон:

$$s \leq q, \quad t(x_{i_j}) \preceq t(x_{i_{j+1}}).$$

Транспортные издержки  $w(x_i, x_j)$  для каждой пары  $(x_i, x_j) \in E$  задаются неотрицательной весовой функцией  $w$ . С ее помощью вес маршрута  $R$  может быть представлен в виде

$$w(R) = w(x_0, x_{i_1}) + \sum_{j=1}^{s-1} w(x_{i_j}, x_{i_{j+1}}) + w(x_{i_s}, x_0).$$

Каждый элемент разбиения (2) состоит в точности из тех потребителей  $x$ , которые должны быть обслужены в течение одного и того же временного окна  $t(x) = t_j \in T$ . Задача состоит в поиске множества допустимых маршрутов  $S = \{R_1, \dots, R_l\}$ , посещающих каждого потребителя в точности один раз и доставляющих наименьшие суммарные транспортные издержки

$$w(S) = \sum_{i=1}^l w(R_i). \quad (3)$$

Если весовая функция  $w$  симметрична и удовлетворяет неравенству треугольника, то задача CVRPTW называется *метрической*, а веса  $w(x_i, x_j)$  — расстояниями между точками  $x_i$  и  $x_j$ . В данной работе рассматривается евклидова постановка CVRPTW, в которой  $X \cup \{x_0\} \subset \mathbb{R}^2$  и  $w(x_i, x_j) = \|x_i - x_j\|_2$ .

## 2. Аппроксимационная схема

Предлагаемая в данной статье аппроксимационная схема обобщает результаты статьи [8], в основе которых лежит классический подход к поиску приближенного решения задачи CVRP, предложенный М. Хаймовичем и А. Ринной Каном в работе [7] и основанный на декомпозиции рассматриваемой задачи. В рамках этого подхода множество потребителей разбивается на два подмножества *внешних* и *внутренних* клиентов в соответствии с их удаленностью от склада  $x_0$ . Для внешних потребителей задача CVRPTW решается точно методом динамического программирования, в то время как для внутренних строится приближенное решение с помощью известной эвристики итеративного разбиения маршрутов (Iterated Tour Partition, ИТР).

Развивая подход, предложенный в [3], мы обосновали аппроксимационную схему, трудоемкость которой сохраняется полиномиальной в более широкой области параметров  $p^3 q^4 = O(\log n)$ . При произвольных фиксированных  $p \geq 1$  и  $q \geq 1$  трудоемкость предложенной схемы составляет

$$O(n^3 + \exp(O(1/\varepsilon^3))),$$

что представляется серьезным улучшением по сравнению с результатом (1) работы [8].

Для описания основной идеи алгоритма введем вспомогательную задачу о частичной маршрутизации транспорта с ограничениями на грузоподъемность и временные окна (задача Partial CVRPTW, PCVRPTW).

По аналогии с CVRPTW постановка задачи PCVRPTW определяется взвешенным орграфом  $G = (X \cup \{x_0\}, E, w)$ , разбиением множества потребителей на непересекающиеся подмножества  $X_1 \cup \dots \cup X_p = X$ , соответствующие временным окнам, и фиксированной грузоподъемностью  $q$  транспортных средств. В отличие от CVRPTW цель задачи PCVRPTW состоит

в посещение не всего множества потребителей  $X$ , а лишь некоторого его *привилегированного* подмножества  $Q \subset X$ . Посещение остальных потребителей, именуемых *опциональными*, не является обязательным, однако пропуск каждого из них штрафует соответствующим слагаемым в целевой функции, определяемой следующим образом. Зафиксируем произвольное допустимое решение  $S = \{R_1, \dots, R_l\}$ . Через  $X[S]$  и  $\bar{X}[S]$  обозначим множества посещенных (по условию,  $Q \subseteq X[S]$ ) и непосещенных потребителей. Соответствующее значение целевой функции задается соотношением

$$\text{cost}(S) = w(S) + \frac{2}{q} \sum_{x \in \bar{X}[S]} r(x), \quad (4)$$

где  $w(S)$  соответствует совокупным транспортным издержкам (3),  $r(x) = w(x_0, x)$  обозначает расстояние между необслуженным потребителем  $x$  и складом  $x_0$ .

В дальнейшем всюду, где это не будет вызывать разночтений, постановки задач CVRPTW и PCVRPTW, задаваемые множеством потребителей  $X$  и подмножеством  $Q \subseteq X$ , договоримся обозначать как CVRPTW( $X$ ) и PCVRPTW( $X, Q$ ), а их оптимальные значения — через CVRPTW\*( $X$ ) и PCVRPTW\*( $X, Q$ ) соответственно.

Изложим основную идею предлагаемой аппроксимационной схемы, формальное описание которой приведено в алгоритме 1.

1. Для заданной точности  $\varepsilon > 0$  переупорядочим элементы множества  $X$  в соответствии с убыванием расстояний  $r_i = r(x_i) = w(x_0, x_i)$  до склада  $x_0$ . Для фиксированных  $k \leq k'$ , определяемых по формулам (5) и (6) соответственно, разобьем множество  $X$  на три непересекающихся подмножества  $X_{out} = \{x_1, \dots, x_{k-1}\}$ ,  $X_{mid} = \{x_k, \dots, x_{k'-1}\}$  и  $X_{in} = \{x_{k'}, \dots, x_n\}$ , т. е. на *внешних*, *промежуточных* и *внутренних* потребителей. Принципиальным моментом является то, что числа  $k$  и  $k'$  определяются исключительно точностью  $\varepsilon$ , грузоподъемностью  $q$  и количеством временных окон  $p$  и не зависят от числа потребителей  $n$  и их взаимного расположения.

2. Для поиска оптимального решения  $U$  задачи PCVRPTW( $X_{out} \cup X_{mid}, X_{out}$ ) как вспомогательной применим алгоритм 2. Как и в схеме [8], процедура поиска оптимального решения не зависит от числа потребителей  $n$ , но является более эффективной.

3. По построению множество потребителей  $\bar{X}[U]$ , не посещенных решением  $U$ , включает подмножество  $X_{in}$  целиком и может содержать некоторое число потребителей из  $X_{mid}$ . Применив модификацию эвристики ИТР (алгоритм 3), найдем приближенное решение задачи CVRPTW( $\bar{X}[U]$ ).

4. Таким образом, постановке CVRPTW( $X$ ) схема сопоставляет комбинированное приближенное решение  $S_{APP} = U \cup S_{ИТР}$ .

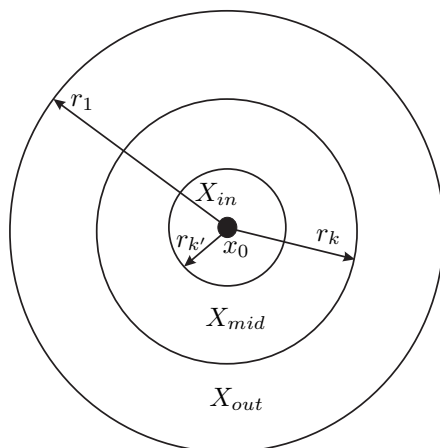


Рис. 1. Разбиение множества  $X$  на подмножества внешних, промежуточных и внутренних потребителей.

**А л г о р и т м 1.** Аппроксимационная схема для евклидовой CVRPTW

**Input:** постановка евклидовой задачи CVRPTW, заданная полным взвешенным оргграфом  $G(X \cup \{x_0\}, E, w)$ , грузоподъемностью  $q$  и разбиением  $X_1 \cup \dots \cup X_p = X$

**Parameters:**  $\varepsilon \in (0, 1)$ ,  $\rho \geq 1$

**Output:**  $(1 + \varepsilon)$ -приближенное решение  $S_{APP}$  постановки CVRPTW( $X$ )

- 1: упорядочить потребителей по убыванию расстояний до склада  $r_1 \geq \dots \geq r_n$
- 2: для заданного  $\varepsilon$  найти наименьшее целое  $k \leq n$ , такое что

$$r_k \leq \left(\frac{\varepsilon}{q}\right)^2 \frac{1}{64\pi(p\rho)^2} \sum_{i=1}^n r_i \tag{5}$$

- 3: по аналогии найти наименьшее целое  $k \leq k' \leq n$ , для которого

$$4(k' - 1)r_{k'} \leq \frac{\varepsilon}{q} \sum_{i=1}^n r_i \tag{6}$$

- 4: разбить множество  $X$  на подмножества  $X_{out} = \{x_1, \dots, x_{k-1}\}$ ,  $X_{mid} = \{x_k, \dots, x_{k'-1}\}$  и  $X_{in} = X \setminus \{X_{out} \cup X_{mid}\}$ , как показано на рис. 1
- 5: применив алгоритм 2, найти оптимальное решение  $U$  подзадачи PCVRPTW( $X_{out} \cup X_{mid}, X_{out}$ ), заданной подграфом  $G(X_{out} \cup X_{mid} \cup \{x_0\})$ , разбиением

$$(X_1 \cup \dots \cup X_p) \cap (X_{out} \cup X_{mid})$$

и грузоподъемностью  $q$

- 6: используя алгоритм 3, найти приближенное решение  $S_{ITP}$  для подзадачи CVRPTW( $\bar{X}[U]$ )
- 7: выдать решение  $S_{APP} = U \cup S_{ITP}$ .

### 2.1. Точный алгоритм для PCVRPTW

Зафиксируем произвольные непустые множества  $Y$  и  $Q \subset Y$  и зададимся определяемой ими постановкой PCVRPTW( $Y, Q$ ) вспомогательной задачи. Основная идея алгоритма 2 базируется на следующих наблюдениях.

1. Поскольку порядок маршрутов произвольного решения  $S = \{R_1, \dots, R_l\}$  не влияет на его допустимость, без ограничения общности мы можем полагать, что маршруты упорядочены по убыванию числа посещенных потребителей  $q_j \leq q$ .

2. По условию, произвольный потребитель  $x \in Q$  должен быть посещен в точности единицы. Кроме того, как непосредственно следует из приведенной ниже леммы 1, каждый маршрут оптимального решения задачи PCVRPTW( $Y, Q$ ) обязан посещать хотя бы одного потребителя из  $Q$ . Поэтому всюду ниже ограничимся рассмотрением решений, удовлетворяющих соотношению  $l \leq b = |Q|$ .

Как следует из вышеизложенных наблюдений, каждому решению  $S$  можно сопоставить *паттерн*  $\lambda = \lambda(S) = q_1, \dots, q_l$ , в котором  $q \geq q_1 \geq q_2 \geq \dots \geq q_l \geq 1$  и  $l \leq b$ .

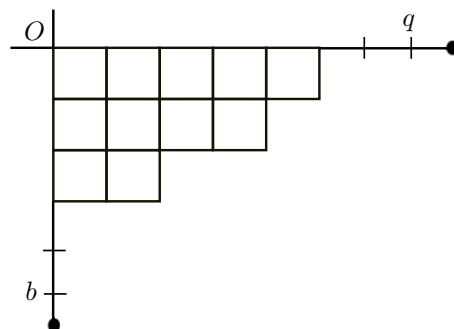


Рис. 2. Пример диаграммы Юнга для  $q = 7$ ,  $b = 5$  и  $\lambda = 5, 4, 2$ .

А л г о р и т м 2. Точный алгоритм для решения PCVRPTW( $Y, Q$ )

**Input:** постановка задачи PCVRPTW, заданная полным графом  $G(Y \cup \{y_0\}, E, w)$ , грузоподъемностью  $q$ , разбиением  $Y_1 \cup \dots \cup Y_p = Y$  и подмножеством  $Q \subset Y$  клиентов, обязательных для посещения

**Output:** точное решение  $U$  постановки PCVRPTW( $Y, Q$ )

- 1: положить  $b = |Q|$
- 2: **for each** паттерна  $\lambda = q_1, \dots, q_l$ , т.е.  $q \geq q_1 \geq \dots \geq q_l \geq 1$  и  $1 \leq l \leq b$  **do**
- 3:   построить соответствующую диаграмму Юнга  $D_\lambda$
- 4:   **for each** отображения  $\mu: Q \rightarrow D_\lambda$  **do**
- 5:     **if** полученное частичное решение является допустимым **then**
- 6:       положить  $F = D_\lambda \setminus \mu(Q)$
- 7:       **for each** отображения  $\nu: F \rightarrow Y \setminus Q$  **do**
- 8:         получить соответствующее решение  $S_{\lambda, \mu, \nu}$
- 9:         **if**  $S_{\lambda, \mu, \nu}$  допустимо **then**
- 10:         вычислить  $\text{cost}(S_{\lambda, \mu, \nu})$  по формуле (4)
- 11:         **end if**
- 12:       **end for**
- 13:     **end if**
- 14:   **end for**
- 15: **end for**
- 16: выдать  $U = \arg \min \{ \text{cost}(S_{\lambda, \mu, \nu}) : S_{\lambda, \mu, \nu} \text{ — допустимое решение} \}$

Назовем произвольные решения  $S_1$  и  $S_2$  *эквивалентными*, если  $\lambda(S_1) = \lambda(S_2)$ . Введенное бинарное отношение очевидным образом удовлетворяет соответствующим аксиомам, а множество допустимых решений задачи PCVRPTW( $Y, Q$ ) разбивается на классы эквивалентности. Каждому классу удобно сопоставить соответствующую диаграмму Юнга (см., например, [1]), как это показано на рис. 2. Произвольная  $j$ -я строка диаграммы Юнга соответствует маршруту  $R_j$  за исключением начальной и конечной точки  $x_0$ . Произвольному решению, представителю заданного класса эквивалентности, взаимно однозначно сопоставим *заполненную* диаграмму, указав в ее ячейках местоположения потребителей (построчно, слева направо) в порядке их посещения соответствующим маршрутом.

Алгоритм 2 состоит из нескольких простых этапов. На первом шаге перебираются все допустимые паттерны  $\lambda$  (и соответствующие им диаграммы) для заданных  $q$  и  $b$ . Заметим, что ввиду необходимости посещения каждого элемента множества  $Q$  не каждая диаграмма Юнга, укладывающаяся в прямоугольник  $b \times q$ , соответствует какому-либо допустимому классу эквивалентности.

На следующем этапе для произвольного допустимого паттерна  $\lambda$  перебираются всевозможные допустимые изоморфные вложения множества  $Q$  во множество ячеек соответствующей диаграммы (как в примере, изображенном на рис. 3а). При этом из рассмотрения исключаются отображения, образы которых нарушают ограничение на временные окна.

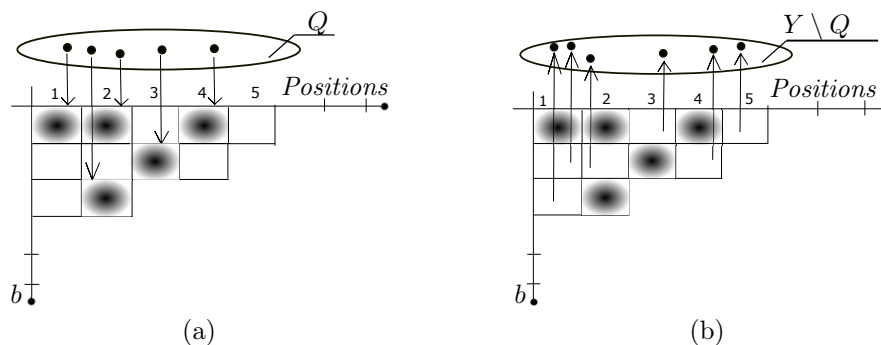


Рис. 3. Примеры: (а) изоморфного вложения множества  $Q$  в диаграмму Юнга; (б) отображения множества незаполненных ячеек в  $Y \setminus Q$ .

На последнем шаге перечисляются допустимые инъекции подмножества незаполненных ячеек фиксированной диаграммы, частично заполненной точками из  $Q$ , во множество  $Y \setminus Q$ . Как и на предыдущем этапе, отображения, нарушающие ограничение на временные окна, исключаются из рассмотрения. Каждое допустимое отображение очевидным образом порождает допустимое решение задачи PCVRPTW( $Y, Q$ ). В качестве ответа выдается одно из допустимых решений минимальной стоимости (4).

## 2.2. Эвристика ИТР для метрической задачи CVRPTW

Для поиска приближенного решения метрической задачи CVRPTW нами разработан эвристический алгоритм, являющийся простой адаптацией классической эвристики ИТР [7] на случай задачи с ограничением на временные окна. Формальное описание эвристики приведено в алгоритме 3. Впервые алгоритм был опубликован в работе [8]. Мы приводим его здесь для полноты изложения.

**А л г о р и т м 3.** Эвристика ИТР для метрической задачи CVRPTW

**Input:** экземпляр метрической задачи CVRPTW, заданной полным графом  $G(X \cup \{x_0\}, E, w)$ , грузоподъемностью  $q$  и разбиением  $X_1 \cup \dots \cup X_p = X$

**Parameter:**  $\rho$ -приближенный алгоритм  $\mathcal{A}_\rho$  для метрической задачи коммивояжера (TSP)

**Output:** приближенное решение  $S_{\text{ИТР}}$  заданного экземпляра CVRPTW

- 1: используя  $\mathcal{A}_\rho$ , получить  $\rho$ -приближенное метрическое TSP решение  $H$  для подграфа  $G\langle X \rangle$
- 2: разрезом (рис. 4) разбить цикл  $H$  на меньшие циклы  $H_1, \dots, H_p$ , где  $H_j$  содержит клиентов  $X_j$ , принадлежащих одному временному окну
- 3: **for each** цикла  $H_j$  **do**
- 4:   **for each**  $x \in X_j$  **do**
- 5:     начиная с вершины  $x$ , разбить цикл  $H_j$  на  $l_j = \lceil |X_j|/q \rceil$  цепей, таких что все, за исключением, быть может, одной, содержат  $q$  вершин
- 6:     соединить концы каждой цепи непосредственно со складом  $x_0$  и получить множество  $S(x)$  из  $l_j$  маршрутов
- 7:   **end for**
- 8:   положить  $S_j = \arg \min \{w(S(x)) : x \in X_j\}$
- 9: **end for**
- 10: выдать приближенное решение  $S_{\text{ИТР}} = S_1 \cup \dots \cup S_p$ .

Основная идея предлагаемого алгоритма основана на разбиении гамильтонова цикла для множества  $X$  на несколько подциклов, каждый из которых посещает исключительно представителей фиксированного подмножества  $X_j \subset X$ , объединенных общим промежутком обслуживания (временным окном) (см. рис. 4). Для каждого из построенных подциклов строится частичное решение классическим алгоритмом ИТР.

## 3. Основной результат

В данном разделе мы приводим обоснование оценок точности и трудоемкости разработанной нами аппроксимационной схемы.

### 3.1. Оценка точности

Покажем, что для произвольного  $\varepsilon \in (0, 1)$  алгоритм 1 находит  $(1 + \varepsilon)$ -приближенное решение для задачи CVRPTW( $X$ ). Нам потребуется несколько технических лемм. Лемма 1 устанавливает нижнюю оценку для оптимального значения произвольной задачи CVRPTW в терминах уклонений потребителей от склада  $x_0$ .

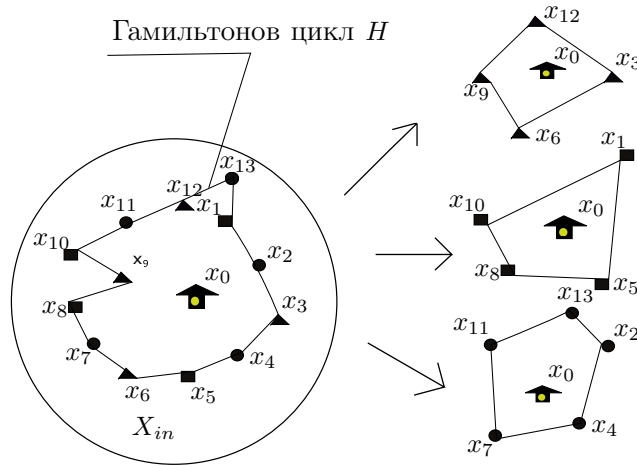


Рис. 4. Пример разбиения гамильтонова цикла; геометрическими фигурами обозначены потребители, обслуживаемые в различные временные окна.

**Лемма 1.** Для произвольной неотрицательной весовой функции  $w$  справедливо соотношение

$$\text{CVRPTW}^*(X) \geq \frac{2}{q} \sum_{x \in X} r(x).$$

Доказательство леммы 1 непосредственно следует из результатов [7; 10], полученных для общей задачи CVRP. Следующая лемма связывает оптимальные значения согласованных постановок задач CVRPTW и PCVRPTW.

**Лемма 2.** Для произвольной неотрицательной функции  $w$  и подмножества  $Q \subset X$  выполняется соотношение  $\text{PCVRPTW}^*(X, Q) \leq \text{CVRPTW}^*(X)$ .

Доказательство. Пусть  $U$  — произвольное оптимальное решение  $\text{CVRPTW}(X)$  и  $U' \subset U$  — минимальное по включению подмножество его маршрутов, посещающее подмножество привилегированных потребителей  $Q$ . По построению  $U'$  является допустимым решением в задаче  $\text{PCVRPTW}(X, Q)$ . Следовательно, по лемме 1 справедлива оценка

$$\text{PCVRPTW}^*(X, Q) \leq w(U') + \frac{2}{q} \sum_{x \in \bar{X}[U']} r(x) \leq w(U') + \text{CVRPTW}^*(\bar{X}[U']). \quad (7)$$

В свою очередь, потребители из  $\bar{X}[U']$  посещаются исключительно маршрутами из  $U \setminus U'$ . Следовательно,  $U \setminus U'$  является допустимым решением для  $\text{CVRPTW}(\bar{X}[U'])$ , для которого справедлива оценка  $\text{CVRPTW}^*(\bar{X}[U']) \leq w(U \setminus U')$ . Объединяя с соотношением (7), получаем искомое неравенство

$$\text{PCVRPTW}^*(X, Q) \leq w(U') + w(U \setminus U') = w(U) = \text{CVRPTW}^*(X).$$

Лемма доказана.

Отметим, что результаты лемм 1 и 2 справедливы для наиболее общих случаев исследуемых задач. Всюду ниже мы ограничимся рассмотрением их метрических и даже евклидовых постановок. В статье [8] обосновывается верхняя оценка для стоимости приближенного решения, получаемого с помощью алгоритма 3.

**Лемма 3** [8]. Пусть  $S_{\text{ITP}}$  — приближенное решение, найденное алгоритмом 3 для метрической постановки  $\text{CVRPTW}(X)$ , заданной графом  $G = (X \cup \{x_0\}, E, w)$ , грузоподъемностью  $q$  и разбиением  $X_1 \cup \dots \cup X_p = X$ . Справедливо следующее соотношение

$$w(S_{\text{ITP}}) \leq p \left(1 - \frac{1}{q}\right) \rho \text{TSP}^*(X) + \frac{2}{q} \sum_{x \in X} r(x) + 2pr_{\max},$$

где  $r_{max} = \max_{r_1, \dots, r_{|X|}}$ ,  $TSP^*(X)$  — оптимальное значение вспомогательной задачи TSP на подграфе  $G(X)$ .

По-прежнему полагая, что потребители пронумерованы в порядке убывания их уклонений  $r_i$  от склада  $x_0$ , оценим качество решения, получаемого при декомпозиции задачи на подзадачи для внешних и внутренних потребителей, решаемые впоследствии независимо друг от друга. Зафиксируем произвольное натуральное  $k \leq n = |X|$  и рассмотрим разбиение множества  $X$  на подмножества  $X_k = \{x_1, \dots, x_{k-1}\}$  и  $X'_k = X \setminus X_k$ , соответствующие внешним и внутренним клиентам соответственно. Пользуясь рассуждениями, аналогичными проведенным в работе [7] для метрической задачи CVRP, получим следующее утверждение.

**Лемма 4.** Для произвольной метрической задачи CVRPTW( $X$ ) справедливо соотношение

$$CVRPTW^*(X_k) + CVRPTW^*(X'_k) \leq CVRPTW^*(X) + 4(k - 1)r_k. \tag{8}$$

**Доказательство.** Пусть  $U$  — произвольное оптимальное решение CVRPTW( $X$ ) и  $R \in U$  — произвольный входящий в него маршрут. Зафиксировав порядок обхода маршрута  $R$ , разобьем его на подмаршруты  $R_0, R_1, \dots, R_s$  так, чтобы все потребители, посещенные подмаршрутом  $R_0$ , были исключительно внутренними, в то время как для остальных подмаршрутов — внешними (как указано на рис. 5). Проведя подобное разбиение для каждого

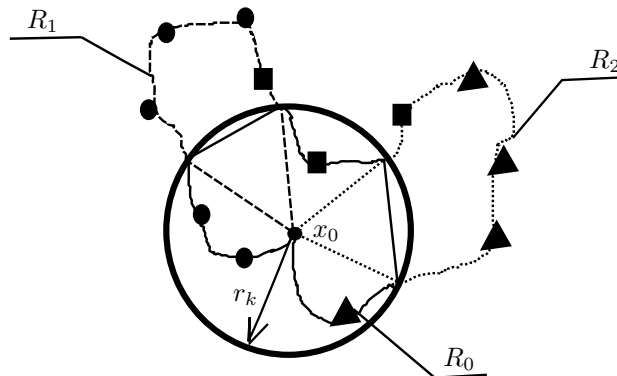


Рис. 5. Пример разбиения маршрута  $R$ .

маршрута  $R \in U$  и группируя “внешние” и “внутренние” подмаршруты, получим допустимые решения  $S$  и  $S'$  для подзадач CVRPTW( $X_k$ ) и CVRPTW( $X'_k$ ) соответственно. Как видно из рис. 5, в ходе описанного выше построения точки пересечения каждого “внешнего” подмаршрута с поверхностью сферы радиуса  $r_k$  соединяются геодезическими с ее центром  $x_0$ . Поскольку общее число таких подмаршрутов не превосходит  $k - 1$ , получаемый в результате суммарный прирост их длины не превосходит  $2(k - 1)r_k$ . С другой стороны, длина каждой из не более чем  $k - 1$  хорд, добавляемых для соединения фрагментов “внутренних” подмаршрутов  $R_0$ , ограничена сверху  $2r_k$  по неравенству треугольника. Таким образом, убеждаемся, что суммарная стоимость построенных маршрутов удовлетворяет соотношению

$$w(S) + w(S') \leq w(U) + 4(k - 1)r_k,$$

из которого справедливость неравенства (8) следует непосредственно, поскольку

$$CVRPTW^*(X_k) \leq w(S), \quad CVRPTW^*(X'_k) \leq w(S'), \quad w(U) = CVRPTW^*(X).$$

Лемма доказана.

Для дальнейших рассуждений нам потребуется верхняя оценка для оптимального значения вспомогательной евклидовой задачи коммивояжера на плоскости.

**Лемма 5** [8]. Пусть постановка евклидовой задачи TSP на плоскости задается конечным множеством  $X = \{x_1, \dots, x_n\}$ , содержащимся в сфере радиуса  $\mathcal{R}$ . Справедливо следующее соотношение:

$$\text{TSP}^*(X) \leq 2\mathcal{R} + 4\sqrt{\pi\mathcal{R} \sum_{i=1}^n r_i},$$

где  $r_i$  — расстояние от  $x_i$  до центра сферы.

Опираясь на леммы 1–5, оценим точность решения  $S_{\text{APP}}$ , получаемого алгоритмом 1.

**Лемма 6.** Для произвольной евклидовой постановки задачи CVRPTW( $X$ ) на плоскости имеем

$$\text{CVRPTW}^*(X) \leq w(S_{\text{APP}}) \leq (1 + \varepsilon) \text{CVRPTW}^*(X).$$

**Доказательство.** Неравенство  $\text{CVRPTW}^*(X) \leq w(S_{\text{APP}})$  непосредственно следует из допустимости  $S_{\text{APP}}$ . Остановимся на доказательстве верхней оценки. По построению,  $w(S_{\text{APP}}) = w(U) + w(S_{\text{ITP}})$ , откуда по лемме 3 получаем

$$w(S_{\text{APP}}) \leq w(U) + \frac{2}{q} \sum_{x \in \bar{X}[U]} r(x) + p\rho \text{TSP}^*(\bar{X}[U]) + 2pr_k. \quad (9)$$

Поскольку  $U$  — оптимальное решение PCVРPTW( $X_{\text{out}} \cup X_{\text{mid}}, X_{\text{out}}$ ),

$$w(U) + \frac{2}{q} \sum_{x \in \bar{X}[U] \cap X_{\text{mid}}} r(x) = \text{PCVРPTW}^*(X_{\text{out}} \cup X_{\text{mid}}, X_{\text{out}}) \leq \text{CVRPTW}^*(X_{\text{out}} \cup X_{\text{mid}}) \quad (10)$$

по лемме 2. Непосредственное применение леммы 1 к множеству  $X_{\text{in}}$  влечет

$$\frac{2}{q} \sum_{x \in X_{\text{in}}} r(x) \leq \text{CVRPTW}^*(X_{\text{in}}). \quad (11)$$

Комбинируя соотношения (9)–(11) и применяя леммы 4 и 5, получим

$$\begin{aligned} w(S_{\text{APP}}) &\leq w(U) + \frac{2}{q} \sum_{x \in \bar{X}[U] \cap X_{\text{mid}}} r(x) + \frac{2}{q} \sum_{x \in X_{\text{in}}} r(x) + p\rho \text{TSP}^*(\bar{X}[U]) + 2pr_k \\ &\leq \text{CVRPTW}^*(X_{\text{out}} \cup X_{\text{mid}}) + \text{CVRPTW}^*(X_{\text{in}}) + p\rho \text{TSP}^*(\bar{X}[U]) + 2pr_k \\ &\leq \text{CVRPTW}^*(X) + 4(k' - 1)r_{k'} + p\rho \text{TSP}^*(\bar{X}[U]) + 2pr_k \\ &\leq \text{CVRPTW}^*(X) + 4(k' - 1)r_{k'} + 4p\rho \sqrt{\pi r_k \sum_{i=1}^n r_i} + 2p(\rho + 1)r_k. \end{aligned}$$

Учитывая, что числа  $k$  и  $k'$  определяются соотношениями (5) и (6), для произвольных  $\varepsilon \in (0, 1)$  и  $p, q, \rho \geq 1$  имеем

$$\begin{aligned} w(S_{\text{APP}}) &\leq \text{CVRPTW}^*(X) + \frac{\varepsilon}{2} \frac{2}{q} \sum_{i=1}^n r_i + \frac{\varepsilon}{4} \frac{2}{q} \sum_{i=1}^n r_i + \left(\frac{\varepsilon}{q}\right)^2 \frac{2p(\rho + 1)}{64\pi(p\rho)^2} \sum_{i=1}^n r_i \\ &\leq \text{CVRPTW}^*(X) + \frac{\varepsilon}{2} \frac{2}{q} \sum_{i=1}^n r_i + \frac{\varepsilon}{4} \frac{2}{q} \sum_{i=1}^n r_i + \frac{\varepsilon}{96} \frac{2}{q} \sum_{i=1}^n r_i < \text{CVRPTW}^*(X) + \frac{2\varepsilon}{q} \sum_{i=1}^n r_i. \quad (12) \end{aligned}$$

В процессе преобразования выражения (12) мы воспользовались несложными соотношениями

$$(\varepsilon/q)^2 \leq \varepsilon/q, \quad \rho + 1 \leq 2\rho, \quad \frac{p(\rho + 1)}{64\pi(p\rho)^2} \leq \frac{2p\rho}{64\pi(p\rho)^2} = \frac{1}{32\pi\rho} \leq \frac{1}{32\pi} \leq \frac{1}{96},$$

справедливыми для выбранных значений параметров. Применив к выражению (12) повторно лемму 1, получим окончательный результат

$$w(S_{APP}) \leq (1 + \varepsilon) \text{CVRPTW}^*(X).$$

Лемма доказана.

### 3.2. Оценка трудоемкости

Временная сложность алгоритма 1, определяется трудоемкостями алгоритмов 2 и 3. При этом сложность алгоритма 3 по порядку величины совпадает с известной трудоемкостью эвристики ИТР (см., например, [7]):

$$\text{TIME}(\text{TSP}, \rho, n) + O(n^2),$$

где  $\text{TIME}(\text{TSP}, \rho, n)$  — временная сложность поиска  $\rho$ -приближенного решения для планарной евклидовой TSP.

Чтобы оценить трудоемкость алгоритма 2, нам понадобятся несколько вспомогательных лемм. Сначала оценим мощности подмножеств  $X_{out}$  и  $X_{mid}$ .

**Лемма 7.** *Верно соотношение*

$$|X_{out}| = k - 1 < \left(\frac{q}{\varepsilon}\right)^2 64\pi(p\rho)^2.$$

**Д о к а з а т е л ь с т в о.** При  $k = 1$  лемма очевидно верна. Рассмотрим случай  $k > 1$ . По выбору  $r_k$  на шаге 2 алгоритма 1 выполняется

$$r_1 \geq \dots \geq r_{k-1} > \left(\frac{\varepsilon}{q}\right)^2 \frac{1}{64\pi(p\rho)^2} \sum_{i=1}^n r_i.$$

Допустив, что  $k - 1 \geq \left(\frac{q}{\varepsilon}\right)^2 64\pi(p\rho)^2$ , приходим к противоречию. В самом деле,

$$\sum_{i=1}^n r_i \geq \sum_{i=1}^{k-1} r_i \geq (k-1)r_{k-1} > \left(\frac{q}{\varepsilon}\right)^2 64\pi(p\rho)^2 \left(\frac{\varepsilon}{q}\right)^2 \frac{1}{64\pi(p\rho)^2} \sum_{i=1}^n r_i = \sum_{i=1}^n r_i.$$

Лемма доказана.

Без ограничения общности всюду ниже полагаем  $k > 1$ .

**Лемма 8.** *Верно равенство  $|X_{mid}| = k' - k$ , где  $k \leq k' \leq O(ke^{4q/\varepsilon})$ .*

**Д о к а з а т е л ь с т в о.** При  $k' = k$  лемма верна для любого  $\varepsilon \in (0, 1)$  и  $q \geq 1$ . Рассмотрим случай  $k' > k$ . По выбору  $r_{k'}$  на шаге 3 алгоритма 1 выполняется

$$\frac{r_l}{\sum_{i=1}^n r_i} > \frac{\varepsilon}{4q(l-1)} \tag{13}$$

для произвольного  $k \leq l < k'$ . Складывая неравенства (13), получаем

$$1 \geq \sum_{l=k}^{k'-1} \frac{r_l}{\sum_{i=k}^{k'-1} r_i} > \frac{\varepsilon}{4q} \sum_{l=k}^{k'-1} \frac{1}{l-1} = \frac{\varepsilon}{4q} \sum_{i=k-1}^{k'-2} \frac{1}{i} \geq \frac{\varepsilon}{4q} \int_{k-1}^{k'-2} \frac{dx}{x} \geq \frac{\varepsilon}{4q} \log \frac{k'-2}{k-1}.$$

Тогда

$$k' < (k-1)e^{4q/\varepsilon} + 2 = O(ke^{4q/\varepsilon}).$$

Лемма доказана.

Перейдем к оценке трудоемкости алгоритма 2.

**Лемма 9.** Для задачи PCVRPTW( $X_{out} \cup X_{mid}, X_{out}$ ) алгоритм 2 находит оптимальное решение за время

$$e^{O(q(q/\varepsilon)^3 (p\rho)^2 \log(p\rho))}.$$

**Доказательство.** Число паттернов, перебираемых на шаге 2 алгоритма 2, ограничено сверху числом диаграмм Юнга, вписанных в прямоугольник размера  $b \times q$ , где  $b = |Q|$ , которое, в свою очередь, как известно [1], не превосходит

$$\binom{b+q}{q} \leq O(b^q).$$

Далее, число инъекций, перебираемых на шаге 4, не превосходит  $(bq)^{|Q|} = (bq)^b$ . Число отображений множества незанятых ячеек во множество  $Y \setminus Q$  на шаге 7 не превосходит  $|Y \setminus Q|^{bq}$ . Наконец, трудоемкость шага 10, на котором проводится проверка допустимости решения и вычисляется значение целевой функции, оценивается сверху  $O(bq)$ .

Таким образом, алгоритм 2 находит оптимальное решение задачи PCVRPTW( $Y, Q$ ) за время

$$O(b^q) (bq)^{b+1} |Y \setminus Q|^{bq}. \quad (14)$$

В частности, применяя алгоритм 2 к постановке задачи PCVRPTW( $X_{out} \cup X_{mid}, X_{out}$ ), имеем  $Q = X_{out}$  и  $Y \setminus Q = X_{mid}$ . В силу лемм 7 и 8  $b = k - 1$ ,  $|Y \setminus Q| = |X_{mid}| \leq O(ke^{4q/\varepsilon})$ . Преобразовывая (14) и применяя повторно лемму 7, получаем

$$\begin{aligned} O(k^q) (kq)^k (ke^{4q/\varepsilon})^{kq} &= O(\exp(q \log k + k \log(qk) + qk \log k + 4kq q/\varepsilon)) \\ &\leq O(\exp(4qk(\log k + q/\varepsilon))) = \exp(O(q \left(\frac{q}{\varepsilon}\right)^3 (p\rho)^2 \log(p\rho))). \end{aligned}$$

Лемма доказана.

Сформулируем основной результат данной статьи, справедливость которого непосредственно следует из лемм 6 и 9.

**Теорема.** Для произвольного  $\varepsilon > 0$  алгоритм 1 находит  $(1 + \varepsilon)$ -приближенное решение евклидовой постановки задачи CVRPTW на плоскости за время

$$\text{TIME}(\text{TSP}, \rho, n) + O(n^2) + O(e^{O(q(\frac{q}{\varepsilon})^3 (p\rho)^2 \log(p\rho))}).$$

**Следствие.** Алгоритм 1 является полиномиальной приближенной схемой (PTAS) при условии  $p^3 q^4 = O(\log n)$ . Для произвольных фиксированных значений параметров  $p \geq 1$  и  $q \geq 1$  алгоритм 1 является эффективной полиномиальной приближенной схемой (EPTAS) с трудоемкостью  $O(n^3 + e^{O(1/\varepsilon^3)})$  при условии, что для решения вспомогательной задачи коммивояжера в алгоритме 3 применяется алгоритм Кристофидеса — Сердюкова.

## Заключение

В данной статье нами предложена новая аппроксимационная схема для задачи маршрутизации транспорта с ограничениями на грузоподъемность транспортных средств и промежутки обслуживания потребителей (временные окна). Опираясь на перспективную схему декомпозиции исходной задачи, в которой множество потребителей разбивается на три части, мы добились существенного снижения трудоемкости по сравнению с результатом [8], опирающимся на классический подход Хаймовича и Ринной Кана. Предложенная схема является EPTAS для произвольных фиксированных грузоподъемности  $q \geq 1$  и числа окон  $p \geq 1$  с трудоемкостью  $O(n^3 + \exp((1/\varepsilon)^3))$  и остается полиномиальной при  $p^3 q^4 = O(\log n)$ .

В последующих работах мы планируем распространить наши результаты на случай евклидова пространства произвольной фиксированной размерности  $d > 1$  и нескольких складов.

## СПИСОК ЛИТЕРАТУРЫ

1. **Andrews G. E., Eriksson K.** Integer partitions. Cambridge: Cambridge University Press, 2nd edn., 2004. 152 p.
2. **Arora S.** Polynomial time approximation schemes for Euclidean traveling salesman and other geometric problems // J. ACM. 1998. Vol. 45, no. 5. P. 753–782. doi: 10.1145/290179.290180.
3. Covering points in the plane by  $k$ -tours: towards a polynomial time approximation scheme for general  $k$  / T. Asano, N. Katoh, H. Tamaki, T. Tokuyama // Proc. of the twenty-ninth annual ACM symposium on theory of computing (STOC '97). N Y: ACM, 1997. P. 275–283. doi: 10.1145/258533.258602.
4. **Chrisofides N.** Worst-case analysis of a new heuristic for the Traveling Salesman Problem. Management Sciences Research Report 388. US, Pennsylvania: Carnegie-Mellon University, 1976. 11 p.
5. **Dantzig G., Ramser J.** The truck dispatching problem // Management science. 1959. Vol. 6, no. 1. P. 80–91.
6. **Das A., Mathieu C.** A quasi-polynomial time approximation scheme for Euclidean capacitated vehicle routing // Algorithmica. 2015. Vol. 73, no. 1. P. 115–142. doi: 10.1007/s00453-014-9906-4.
7. **Haimovich M., Rinnooy Kan A.H.G.** Bounds and heuristics for capacitated routing problems // Math. Operations Research. 1985. Vol. 10, no. 4. P. 527–542. doi: 10.1287/moor.10.4.527.
8. **Khachay M., Ogorodnikov Y.** Efficient PTAS for the Euclidean CVRP with time windows // Analysis of Images, Social Networks and Texts: Revised Selected Papers 7th International Conf. (AIST-2018). Cham: Springer International Publishing, 2018. P. 1–11. (Lecture Notes in Computer Science; vol. 11179).
9. **Khachay M., Dubinin R.** PTAS for the Euclidean Capacitated Vehicle Routing Problem in  $R^d$  // Proc. DOOR 2016. Cham: Springer International Publishing, 2016. P. 193–205. (Lecture Notes in Computer Science; vol. 9869). doi: 10.1007/978-3-319-44914-2\_16.
10. **Khachay M., Zaytseva H.** Polynomial time approximation scheme for single-depot Euclidean Capacitated Vehicle Routing Problem // Proc. COCOA 2015. Cham: Springer International Publishing, 2015. P. 178–190. (Lecture Notes in Computer Science; vol. 9486). doi: 10.1007/978-3-319-26626-8\_14.
11. **Kumar S., Panneerselvam R.** A survey on the vehicle routing problem and its variants *Intelligent Information Management*. 2012. Vol. 4, no. 3. P. 66–74. doi: 10.4236/iim.2012.43010.
12. **Сердюков А.И.** О некоторых оптимальных обходах в графах. Управляемые системы. 1978. Вып. 17. С. 76–79.
13. **Song L., Huang H.** The Euclidean Vehicle Routing Problem with multiple depots and time windows // Proc. COCOA 2017, Part II. Cham: Springer International Publishing, 2017. P. 449–456. (Lecture Notes in Computer Science; vol. 10627). doi: 10.1007/978-3-319-71147-8\_31.
14. **Song L., Huang H., Du H.** Approximation schemes for euclidean vehicle routing problems with time windows // J. Combinatorial Optim. 2016. Vol. 32, no. 4. P. 1217–1231. doi: 10.1007/s10878-015-9931-5.
15. **Toth P., Vigo D.** Vehicle Routing: problems, methods and applications / eds. P. Toth, D. Vigo. 2 edn. 2014. 480 p. (MOS-Siam Series on Optimization, SIAM). ISBN: 978-1-611973-58-7.

Хачай Михаил Юрьевич

Поступила 29.05.2018

д-р физ.-мат. наук, зав. отделом, профессор РАН

Институт математики и механики им. Н. Н. Красовского УрО РАН;

Уральский федеральный университет,

г. Екатеринбург;

Омский государственный технический университет,

г. Омск

e-mail: mkhachay@imm.uran.ru

Огородников Юрий Юрьевич

младший науч. сотрудник

Институт математики и механики им. Н. Н. Красовского УрО РАН,

Уральский федеральный университет,

г. Екатеринбург

e-mail: yogorodnikov@gmail.com

## REFERENCES

1. Andrews G. E., Eriksson K. *Integer partitions*. Cambridge: Cambridge University Press, 2nd edn., 2004, 152 p. ISBN-10: 0521600901.
2. Arora S. Polynomial time approximation schemes for Euclidean traveling salesman and other geometric problems. *J. ACM*, 1998, vol. 45, no. 5, pp. 753–782. doi: 10.1145/290179.290180.
3. Asano T., Katoh N., Tamaki H., Tokuyama T. Covering points in the plane by  $k$ -tours: towards a polynomial time approximation scheme for general  $k$ . *Proc. of the twenty-ninth annual ACM symposium on theory of computing (STOC '97)*. N Y: ACM, 1997. P. 275–283. doi: 10.1145/258533.258602.
4. Chrisofides N. Worst-case analysis of a new heuristic for the Traveling Salesman Problem. *Management Sciences Research Report 388*, US, Pennsylvania: Carnegie-Mellon University, 1976, 11 p.
5. Dantzig G., Ramser J. The truck dispatching problem. *Management science*, 1959, vol. 6, no. 1, pp. 80–91.
6. Das A., Mathieu C. A quasi-polynomial time approximation scheme for Euclidean capacitated vehicle routing. *Algorithmica*, 2015, vol. 73, no. 1, pp. 115–142. doi: 10.1007/s00453-014-9906-4.
7. Haimovich M., Rinnooy Kan A.H.G. Bounds and heuristics for capacitated routing problems. *Math. Operations Research*, 1985, vol. 10, no. 4, pp. 527–542. doi: 10.1287/moor.10.4.527.
8. Khachay M., Ogorodnikov Y. Efficient PTAS for the Euclidean CVRP with time windows. *Analysis of Images, Social Networks and Texts: Revised Selected Papers 7th Internat. Conf. (AIST-2018)*, Cham: Springer International Publishing, 2018, Ser. Lecture Notes in Computer Science, vol. 11179, pp. 1–11.
9. Khachay M., Dubinin R. PTAS for the Euclidean Capacitated Vehicle Routing Problem in  $R^d$ . *Proc. DOOR 2016*, Cham: Springer International Publishing, 2016, Ser. Lecture Notes in Computer Science; vol. 9869, pp. 193–205. doi: 10.1007/978-3-319-44914-2\_16.
10. Khachay M., Zaytseva H. Polynomial time approximation scheme for single-depot Euclidean Capacitated Vehicle Routing Problem. *Proc. COCOA 2015*, Cham: Springer International Publishing, 2015, Ser. Lecture Notes in Computer Science; vol. 9486, pp. 178–190. doi: 10.1007/978-3-319-26626-8\_14.
11. Kumar S., Panneerselvam R. A survey on the vehicle routing problem and its variants. *Intelligent Information Management*, 2012, vol. 4, no. 3, pp. 66–74. doi: 10.4236/iim.2012.43010.
12. Serdyukov A. On some extremal routes in graphs. *Upravliaemye systemy*, 1978, iss. 17, pp. 76–79 (in Russian).
13. Song L., Huang H. The Euclidean Vehicle Routing Problem with multiple depots and time windows. *Proc. COCOA 2017, Part II*, Cham: Springer International Publishing, 2017, Ser. Lecture Notes in Computer Science, vol. 10627, pp. 449–456. doi: 10.1007/978-3-319-71147-8\_31.
14. Song L., Huang H., Du H. Approximation schemes for euclidean vehicle routing problems with time windows. *J. Combinatorial Optim.*, 2016, vol. 32, no. 4, pp. 1217–1231. doi: 10.1007/s10878-015-9931-5.
15. Toth P., Vigo D. *Vehicle Routing: problems, methods and applications*, 2 edn., 2014, MOS-Siam Series on Optimization, SIAM, 480 p. ISBN: 978-1-611973-58-7.

The paper was received by the Editorial Office on May 29, 2018.

**Funding Agency:** The first author is supported by the Russian Science Foundation (project no. 14-11-00109).

*Mikhail Yur'evich Khachai*, Dr. Phys.-Math. Sci., Prof., Krasovskii Institute of Mathematics and Mechanics, Ural Branch of the Russian Academy of Sciences, Yekaterinburg, 620990 Russia; Ural Federal University, Yekaterinburg, 620002 Russia; Omsk State Technical University, Omsk, 644050 Russia, e-mail: mkhachay@imm.uran.ru.

*Yurii Yur'evich Ogorodnikov*, Krasovskii Institute of Mathematics and Mechanics, Ural Branch of the Russian Academy of Sciences, Yekaterinburg, 620990 Russia, Ural Federal University, Yekaterinburg, 620002 Russia, e-mail: yogorodnikov@gmail.com.